

# Алгоритм блочного шифрования BELT

С. В. Агиевич<sup>1</sup>, В. А. Галинский<sup>1</sup>, Н. Д. Микулич<sup>2</sup>, Ю. С. Харин<sup>1</sup>

<sup>1</sup> Национальный научно-исследовательский центр прикладных проблем математики и информатики Белгосуниверситета  
пр. Ф. Скорины, 4, Минск, Беларусь

<sup>2</sup> Государственный центр безопасности информации  
при Президенте Республики Беларусь  
ул. Кальварийская, 7а, Минск, Беларусь

## 1 Введение

К настоящему времени разработано большое количество алгоритмов блочного шифрования, многие из которых являются национальными или ведомственными стандартами. Наибольшую известность приобрели криптоалгоритмы DES, ГОСТ 28147-89, IDEA, Rijndael и др. Они находятся под пристальным вниманием криптологов, изучающих слабости и оценивающих стойкость этих криптосистем.

В настоящей статье описывается новый алгоритм блочного шифрования с длиной блока 128 битов и 256-битовым ключом. Приводятся принципы проектирования алгоритма и характеристики быстродействия.

## 2 Спецификация алгоритма

### 2.1 Обозначения

- $\mathcal{A}^n$  множество всех слов длины  $n$  в алфавите  $\mathcal{A} = \{0, 1\}$ ;
- $u \parallel v$  конкатенация  $u_1u_2 \dots u_nv_1v_2 \dots v_m$  слов  $u = u_1u_2 \dots u_n$  и  $v = v_1v_2 \dots v_m$ ;
- $\bar{u}$  а) число  $2^7u_1 + 2^6u_2 + \dots + u_8$  для слова  $u = u_1u_2 \dots u_8 \in \mathcal{A}^8$  и  
б) число  $\bar{u}_1 + 2^8\bar{u}_2 + 2^{16}\bar{u}_3 + 2^{24}\bar{u}_4$  для слова  $u = u_1 \parallel u_2 \parallel u_3 \parallel u_4$ ,  $u_i \in \mathcal{A}^8$ ;
- $\langle U \rangle_{32}$  слово  $u \in \mathcal{A}^{32}$  такое, что  $\bar{u} \equiv U \pmod{2^{32}}$ ;
- $u \oplus v$  поразрядная по модулю 2 сумма двоичных слов  $u, v \in \mathcal{A}^{32}$ ;
- $u \boxplus v$  слово  $\langle \bar{u} + \bar{v} \rangle_{32}$  для слов  $u, v \in \mathcal{A}^{32}$ ;
- $u \boxminus v$  слово  $w \in \mathcal{A}^{32}$  такое, что  $u = v \boxplus w$ ;
- $\lambda(u)$  слово  $\langle 2\bar{u} + \lfloor \frac{\bar{u}}{231} \rfloor \rangle_{32}$  для слова  $u \in \mathcal{A}^{32}$ ;
- $\lambda^r(u)$  слово, полученное  $r$ -кратным действием  $\lambda$  на  $u$ ;
- $a \leftarrow u$  запись значения  $u$  в регистр  $a$ ;
- $a \leftrightarrow b$  перестановка значений регистров  $a$  и  $b$ .

### 2.2 Алгоритм

**Данные.** Алгоритм предназначен для криптографического преобразования данных — зашифрования и расшифрования слов  $X \in \mathcal{A}^{128}$  на ключе  $\theta \in \mathcal{A}^{256}$ .

**Расписание ключей.** Ключу  $\theta = \theta_1 \parallel \theta_2 \parallel \dots \parallel \theta_8$ ,  $\theta_i \in \mathcal{A}^{32}$ , ставятся в соответствие слова  $\kappa_1, \kappa_2, \dots, \kappa_{56} \in \mathcal{A}^{32}$ . При зашифровании  $\kappa_i$  является  $i$ -м элементом последовательности

$$\theta_1, \theta_2, \dots, \theta_8, \theta_1, \theta_2, \dots, \theta_8, \dots$$

При расшифровании  $\kappa_i$  является  $i$ -м элементом последовательности

$$\theta_8, \theta_7, \dots, \theta_1, \theta_8, \theta_7, \dots, \theta_1, \dots$$

**Структура алгоритма.** Для криптопреобразования слова  $X_1 \parallel X_2 \parallel X_3 \parallel X_4$ ,  $X_i \in \mathcal{A}^{32}$ , используются 32-разрядные регистры  $a, b, c, d$ , первоначально содержащие значения

$$a \leftarrow X_1, \quad b \leftarrow X_2, \quad c \leftarrow X_3, \quad d \leftarrow X_4.$$

Криптопреобразование состоит в выполнении объединенных в такты вычислений над содержимым регистров. Дополнительно используется вспомогательный 32-разрядный регистр  $e$ .

При зашифровании выполняются такты  $1, 2, \dots, 8$ . Результатом зашифрования является слово  $b \parallel d \parallel a \parallel c$ .

При расшифровании выполняются такты  $8, 7, \dots, 1$ . Результатом расшифрования является слово  $c \parallel a \parallel d \parallel b$ .

**Такт.** На  $t$ -м такте зашифрования выполняются шаги (см. рис. 1):

- (1)  $b \leftarrow b \oplus G_5(a \boxplus \kappa_{7t-6})$ ,
- (2)  $c \leftarrow c \oplus G_{21}(d \boxplus \kappa_{7t-5})$ ,
- (3)  $a \leftarrow a \boxplus G_{13}(b \boxplus \kappa_{7t-4})$ ,
- (4)  $e \leftarrow G_{21}(b \boxplus c \boxplus \kappa_{7t-3}) \oplus \langle t \rangle_{32}$ ,
- (5)  $b \leftarrow b \boxplus e$ ,
- (6)  $c \leftarrow c \boxplus e$ ,
- (7)  $d \leftarrow d \boxplus G_{13}(c \boxplus \kappa_{7t-2})$ ,
- (8)  $b \leftarrow b \oplus G_{21}(a \boxplus \kappa_{7t-1})$ ,
- (9)  $c \leftarrow c \oplus G_5(d \boxplus \kappa_{7t})$ ,
- (10)  $a \leftrightarrow b$ ,
- (11)  $c \leftrightarrow d$ ,
- (12)  $b \leftrightarrow c$ .

На  $t$ -м такте расшифрования вместо шага (12) выполняется шаг

$$(12') \quad a \leftrightarrow d.$$

**Преобразование  $G_r$ .** Преобразование  $G_r: \mathcal{A}^{32} \rightarrow \mathcal{A}^{32}$  ставит в соответствие слову  $u = u_1 \parallel u_2 \parallel u_3 \parallel u_4$ ,  $u_i \in \mathcal{A}^8$ , слово

$$G_r(u) = \lambda^r (S(u_1) \parallel S(u_2) \parallel S(u_3) \parallel S(u_4)).$$

**Подстановка  $S$ .** Подстановка  $S: \mathcal{A}^8 \rightarrow \mathcal{A}^8$  задается таблицей 1. Двоичные слова записываются в шестнадцатеричной системе счисления. При этом последовательным четверем двоичным символам соответствует одна шестнадцатеричная цифра. Например,  $01010010 = \text{A2}_{16}$ . Если  $u = \text{IJ}_{16}$ , то значение  $S(u)$  находится на пересечении строки I и столбца J. Например,  $S(\text{A2}_{16}) = \text{9B}_{16}$ .

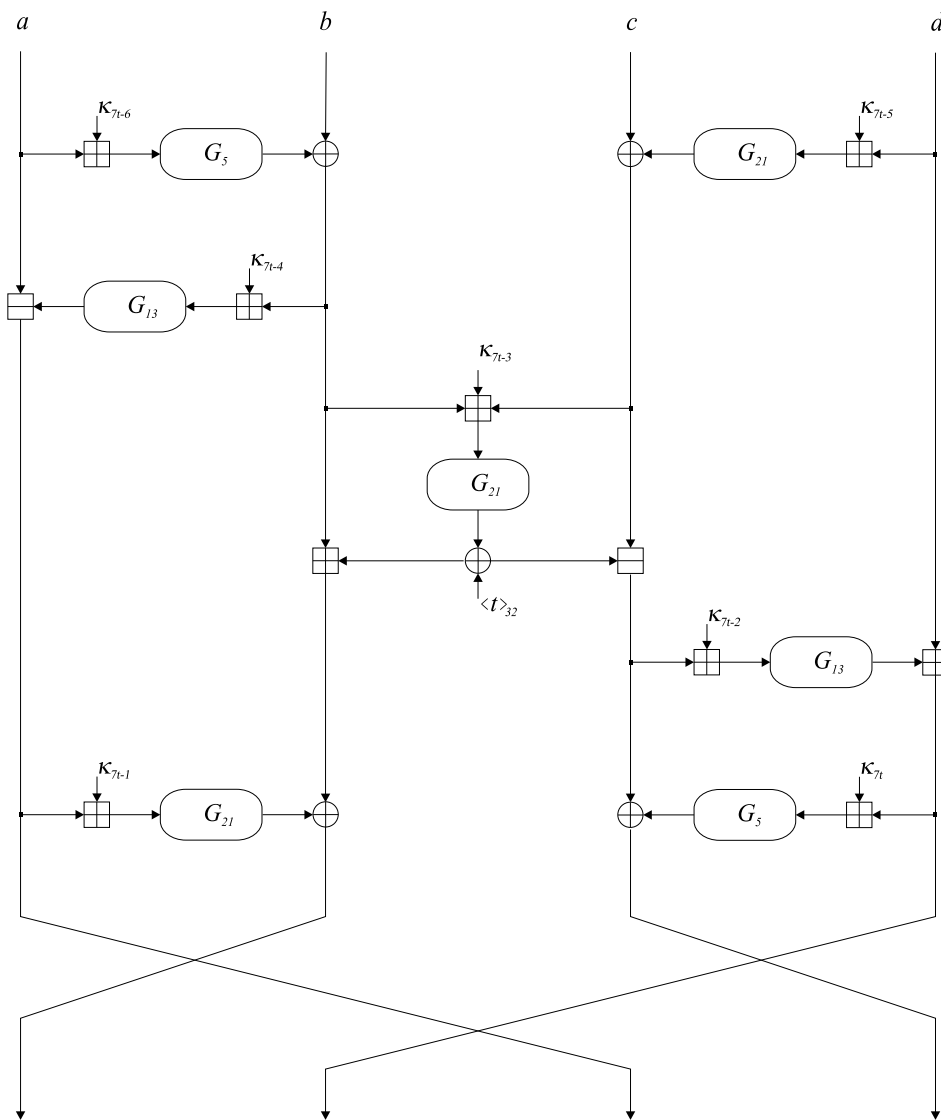


Рис. 1: Вычисления на  $t$ -м такте зашифрования

### 3 Принципы проектирования алгоритма

Перечислим основные принципы, которыми мы руководствовались при разработке алгоритма.

1. Структурная близость преобразований зашифрования и расшифрования.

Такт зашифрования BELT структурно незначительно отличается от такта зашифрования. Структурная близость упрощает программную и аппаратную реализации алгоритма.

2. Использование подстановки  $S$ .

Возможны ситуации в которых пользователю требуется «личная» криптосистема. Один из способов персонализации алгоритма состоит в использовании подстановки  $S$  в качестве дополнительного долговременного ключа.

3. Конструкция и характеристики подстановки  $S$ .

Таблицы истинности координатных булевых функций подстановки  $S$  выбирались как различные отрезки длины 255 линейных рекуррентных последовательностей (см. [1])

Таблица 1: Подстановка  $S$ 

	0	1	2	3	4	5	6	7	8	9	A	B	C	D	E	F
0	B1	94	BA	C8	0A	08	F5	3B	36	6D	00	8E	58	4A	5D	E4
1	85	04	FA	9D	1B	B6	C7	AC	25	2E	72	C2	02	FD	CE	0D
2	5B	E3	D6	12	17	B9	61	81	FE	67	86	AD	71	6B	89	0B
3	5C	B0	C0	FF	33	C3	56	B8	35	C4	05	AE	D8	E0	7F	99
4	E1	2B	DC	1A	E2	82	57	EC	70	3F	CC	F0	95	EE	8D	F1
5	C1	AB	76	38	9F	E6	78	CA	F7	C6	F8	60	D5	BB	9C	4F
6	F3	3C	65	7B	63	7C	30	6A	DD	4E	A7	79	9E	B2	3D	31
7	3E	98	B5	6E	27	D3	BC	CF	59	1E	18	1F	4C	5A	B7	93
8	E9	DE	E7	2C	8F	0C	0F	A6	2D	DB	49	F4	6F	73	96	47
9	06	07	53	16	ED	24	7A	37	39	CB	A3	83	03	A9	8B	F6
A	92	BD	9B	1C	E5	D1	41	01	54	45	FB	C9	5E	4D	0E	F2
B	68	20	80	AA	22	7D	64	2F	26	87	F9	34	90	40	55	11
C	BE	32	97	13	43	FC	9A	48	A0	2A	88	5F	19	4B	09	A1
D	7E	CD	A4	D0	15	44	AF	8C	A5	84	50	BF	66	D2	E8	8A
E	A2	D7	46	52	42	A8	DF	B3	69	74	C5	51	EB	23	29	21
F	D4	EF	D9	B4	3A	62	28	75	91	14	10	EA	77	6C	DA	1D

с примитивным характеристическим многочленом

$$p(\lambda) = \lambda^8 + \lambda^6 + \lambda^5 + \lambda^2 + 1,$$

причем в фиксированную позицию каждого отрезка вставлялся символ 0.

Приведем некоторые криптографические характеристики построенной подстановки:

- 1) нелинейность  $S$  равняется 102 (при выбранных размерностях нелинейность  $S$  не может превышать 120, высокая нелинейность обеспечивает стойкость криптосистемы к методам линейного криптоанализа [7]);
- 2) разностные характеристики  $S$ :  $R_{\oplus\oplus}(S) = 8$ ,  $R_{\boxplus\boxplus}(S) = 7$ ,  $R_{\oplus\boxplus}(S) = 6$ ,  $R_{\boxplus\oplus}(S) = 3$ , где, например,

$$R_{\boxplus\oplus}(S) = \max_{\substack{\alpha, \beta \in \mathcal{A}^8 \\ \alpha \neq 0}} \sum_{x \in \mathcal{A}^8} \mathbf{I}\{S(x \boxplus \alpha) = S(x) \oplus \beta\},$$

$\mathbf{I}\{\mathcal{E}\}$  — индикатор наступления события  $\mathcal{E}$  (малые значения разностных характеристик затрудняют применение методов разностного анализа [3]);

- 3) степени всех координатных булевых функций отображения  $S$  равняются 7 (при выбранных размерностях это максимально возможное значение, высокие степени координатных функций затрудняют применение некоторых модификаций разностных атак [6]);
  - 4) отсутствуют квадратичные соотношения, связывающие входы и выходы  $S$ -блока (наличие таких соотношений упрощает применение алгебраических атак [4]).
4. Чередование операций.

При выполнении тактов алгоритма к содержимому регистров добавляются (по правилам  $\oplus$ ,  $\boxplus$ ,  $\boxminus$ ) образы  $G$ -преобразования. При этом операция покомпонентного суммирования и аддитивные операции по модулю  $2^{32}$  чередуются. Например, при зашифровании к содержимому регистра  $b$  добавляется

$$(\oplus) \text{ значение } G_5(a \boxplus \kappa_1),$$

( $\boxplus$ ) значение  $G_{21}(b \boxplus c \boxplus \kappa_4) \oplus \langle 1 \rangle_{32}$ ,

( $\oplus$ ) значение  $G_{21}(a \boxplus \kappa_6)$ ,

затем содержимое  $b$  переписывается в регистр  $a$ , из него вычитается

( $\boxminus$ ) значение  $G_{13}(b \boxplus \kappa_{10})$

и т. д. Использование операций из разных групп и их чередование затрудняет применение некоторых методов криптоанализа.

#### 5. Неоднородные тактовые преобразования.

На шаге (4) тактовых преобразований содержимое регистра  $e$  суммируется с номером такта  $\langle t \rangle_{32}$  и все такты являются различными подстановками даже при одинаковых наборах тактовых параметров  $k_t = (\kappa_{7t-6}, \dots, \kappa_{7t})$ ,  $t = 1, \dots, 8$ . При этом снижается вероятность появления у анализируемых подстановок зашифрования  $F_\theta$ ,  $\theta \in \mathcal{A}^{256}$ , алгебраических слабостей таких, например, как

- низкий порядок подстановок  $F_\theta$  и, в частности, наличие слабых ключей, т. е. таких  $\theta$ , что  $F_\theta^2$  — тождественная подстановка;
- наличие эквивалентных ключей, т. е. таких различных  $\theta_1, \theta_2$ , что  $F_{\theta_1} = F_{\theta_2}$ .

#### 6. Выбор числа тактов.

Криптопреобразования алгоритма являются композициями 8 тактовых подстановок. При разработке алгоритма был проведен первичный статистический анализ, направленный на обнаружение статистических зависимостей между открытым текстом, шифртекстом и ключом. Установлено, что уже для 2-тактовых криптопреобразований значимые статистические закономерности отсутствуют.

## 4 Быстродействие

При разработке алгоритма в качестве базовой была выбрана 32-разрядная архитектура. Единственная не 32-разрядная операция — это замена байта на блоке  $S$ . При программной реализации алгоритма нами использовалась следующая оптимизация:

- (а) Для  $r = 5, 13, 21, 29$  предварительно строятся расширенные таблицы, задающие отображения

$$S_r: \mathcal{A}^8 \rightarrow \mathcal{A}^{32}, \quad x \mapsto \lambda^r(S(x) \parallel 0^{24}),$$

где  $0^{24}$  — нулевое слово длины 24. Для хранения всех четырех таблиц требуется 4 Кб памяти.

- (б) Значение  $G_5(x)$ ,  $x = x_1 \parallel x_2 \parallel x_3 \parallel x_4$ ,  $x_i \in \mathcal{A}^8$ , вычисляется как

$$G_5(x) = S_5(x_1) \oplus S_{13}(x_2) \oplus S_{21}(x_3) \oplus S_{29}(x_4).$$

Аналогично:

$$G_{13}(x) = S_{13}(x_1) \oplus S_{21}(x_2) \oplus S_{29}(x_3) \oplus S_5(x_4),$$

$$G_{21}(x) = S_{21}(x_1) \oplus S_{29}(x_2) \oplus S_5(x_3) \oplus S_{13}(x_4).$$

Количество операций, требуемых для зашифрования (расшифрования) 16-байтового блока данных, приводится в таблице 2.

Таблица 2: Количество операций для криптопреобразования 16-байтового блока

Операции	Количество
$\boxplus, \boxminus$	96
$\oplus$	40
$\lambda^r$	56
$S$	224
$\leftrightarrow$	23
Общее количество	439

Производительность алгоритма сравнивалась с производительностью криптосистем конкурса AES — кандидатов на стандарт шифрования США [2]. Нами были отобраны криптосистемы RC6, Rijndael, MARS, Twofish, Serpent, DFC, Safer+. Первые пять из них прошли во второй тур AES и обладают лучшими характеристиками быстродействия среди всех 15 кандидатов. Криптосистема Rijndael победила в конкурсе AES.

Для сравнения использовались программные реализации криптосистем, написанные Б. Гладманом [5] на языке C. Учитывались соглашения данных реализаций и использовались только те способы оптимизации вычислений, которые имеются в данных реализациях. Например, описанный выше способ вычисления значения  $G_r$ , основанный на использовании расширенных таблиц подстановки, применялся в программной реализации криптосистемы Rijndael, криптосистема Serpent по неофициальным данным была второй.

Сравнение быстродействия осуществлялось с помощью утилиты VTune Perfomance Analyzer [8]. Данная утилита позволяет определять число тактов, необходимых для выполнения программы на процессорах семейства Pentium и учитывает специфику аппаратного строения процессоров (использование конвейерной архитектуры, кэша команд, кэша данных и др.). Результаты сравнительного анализа приведены в таблице 3. Из таблицы, например, следует, что предлагаемый алгоритм позволяет выполнять шифрование на процессоре Pentium-200 со скоростью  $200 \cdot \frac{128}{1367} \approx 18.73$  Мбит/сек., а на процессоре Pentium III-1000 — со скоростью  $1000 \cdot \frac{128}{682} \approx 187.7$  Мбит/сек.

Таблица 3: Числов тактов процессоров семейства Pentium для зашифрования 16 байтов открытого текста

Процессор	Кандидаты AES							BELT
	RC6	Rijndael	MARS	Twofish	Serpent	DFC	Safer+	
Pentium	920	1022	954	892	1693	3750	3789	1367
Pentium II	271	399	388	404	964	1246	1910	642
Pentium III	281	427	410	429	984	1256	1928	682

Дополнительным достоинством алгоритма является быстрый, фактически не требующий вычислений, способ определения тактовых ключей  $\kappa_1, \dots, \kappa_{56}$ . Сложное расписание снижает эффективность применения криптосистемы в тех случаях, когда требуется частая смена ключей, например, в некоторых схемах построения хэш-функции. Для сравнения, вычислительная сложность построения расписания ключей в алгоритме Twofish примерно в 5 раз превышает сложность криптопреобразования 16-байтового блока.

## Список литературы

1. *Лидл Р., Нидеррайтер Г.* Конечные поля: В 2 т. — М.: Мир, 1988.
2. Advanced Encryption Standard (AES) development effort. — Avail. at: <http://csrc.nist.gov/encryption/aes/index2.htm>, 2001.
3. *Biham E., Shamir A.* Differential cryptanalysis of DES-like cryptosystems. — J. Cryptology, 1991, v. 4, p. 3–72.
4. *Courtois N. T., Pieprzyk J.* Cryptanalysis of block ciphers with overdefined systems of equations. — IACR Eprint Server, avail. at: <http://eprint.iacr.org/2002/044/>, 2002.
5. *Gladman B.* Implementation experience with AES candidate algorithms. — In: Proceedings: Second AES Candidate Conference (AES2), 1999, avail. at: <http://csrc.nist.gov/CryptoToolkit/aes/round1/conf2/aes2conf.htm>.
6. *Knudsen L. R.* Truncated and higher order differentials. — Lect. Notes Comp. Sci., 1995, v. 1008, p. 196–211.
7. *Matsui M.* Linear Cryptanalysis Method for DES Cipher. — Lect. Notes Comp. Sci., 1994, v. 765, p. 386–397.
8. VTune Performance Analyzers. — Avail. at: <http://developer.intel.com/design/perftool/vtune>.